

İlyaslar Köyü (Kırkağaç-Manisa) Dolayında Yüzeyleyen Tüflerin Petrografik Özellikleri

The Petrographical Features of Tuffs outcropping in the vicinity of İlyaslar Village (Kırkağaç-Manisa)

Ender Sarıfakioğlu

MTA Genel Müdürlüğü, Jeoloji Etütleri Dairesi, 06520 Ankara

ÖZ

Kırkağaç (Manisa) İlçesinin doğusunda, geniş alanlar kaplayan Neojen'in karasal sedimanter kayaçları ile arakatmanlı tuf düzeyleri mevcuttur. Tuf örneklerinde yapılan mikroskopik incelemelerde, hazırlanan betimleme kriterleri baz alınarak ayrıntılı petrografik gözlemler yapılmıştır. Çalışmalar sonucunda, çoğunlukla dasitik vitrik (kül) tuf tespit edilmiştir. Bazen kristal tuf ve litik tuf adlaması da yapılmıştır. Kayaçların mineral içeriğine göre incelenen tüflerin dasitik volkanizma ile ilişkili olduğu anlaşılmıştır. Az miktarda, andezitik volkanizmanın ürünü olan tuf örnekleri de gözlenmiştir.

Anahtar Kelimeler: Pirojenik bileşenler, Pirojenik kristaller, Kayaç kıırıntıları, Vitrik (kül) tuf, Kristal (kül) tuf

ABSTRACT

The terrigenous sedimentary rocks of Neogene intercalated with tuffs are widespread in the west of Kırkağaç (Manisa). According to detail petrographical studies, the tuff samples are generally named as dasitic vitric ash tuff considering principles of description. The crystal tuff and lithic tuff are occasionally described. Tuffs are determined to have dasitic character according to diagram showing mineral compositions but some tuff samples represent the products of andesite volcanism.

Key words: Pyrogenetic components, Pyrogenetic crystals, Lithic component, Vitric (ash) tuff, Crystal (ash) tuff

GİRİŞ

Volkanlardan katı malzemeler şeklinde çıkan piroklastiklerin (volkan bombası, lapilli, kül, toz) karasal ya da denizel-gölsel ortamlarda birikmesi ile hem volkanik hem de sedimanter işlemlerin etkisinde kalarak oluşan kayaçlara piroklastik kayaçlar denir. Piroklastik kayaçların oluşumunda volkanik ve sedimanter koşulların her ikisinin de etkili olması nedeniyle piroklastik malzemenin yanında litoklastiklerin varlığı olağandır. Litoklastikler, volkanoklastikler olabileceği gibi temeldeki kayaçların

(sedimanter, metamorfik, magmatik) parçacıkları da olabilir.

Başlıca piroklastik kayaçlar; aglomeralar, tüfler ve igrimbritlerdir. Aglomeralar, blok veya çakıl boyutundaki köşeli volkanik kaya parçalarının volkanik kül matriksi tarafından tutturulmasıyla oluşmuştur. Vitroklastik doku sunan tüfler, vitrik küllerden oluşan matriks içerisinde cam parçacıkları, kristaller ve kayaç parçacıkları içerir. Fyameler (volkanik cam/pumis) içeren ignimbritler, özel bir tuf çeşidi olup kaynaklanmış kristal-litik tüflerdir.

Üst üstte biriken sıcak volkanik materyal (özellikle cam parçacıkları) basınçtan dolayı sıkışıp lehimleşir ve genellikle akma yapısı kazanır (Fisher, 1961; Speranskaya, 1966; Mc Phie, et al, 1993; Erkan, 1994). Tüfler ile ignimbritler ardışık seviyeler oluşturabilir. Her iki kayaç türü, fiziksel ve kimyasal aşınmaboşmaya karşı farklı direnç gösterdiklerinden Kapadokya Bölgesindeki Peribacalar gibi doğal yapıtlar meydana gelebilir (JMO, 2004).

Çizelge 1. İnceleme alanındaki tüflerin petrografik adlamasında uygulanan mikroskopik çalışma yöntemi.

Table 1. The microscope study method for petrographical classification onto tuffs from the studied area.

Yer :	
Pafta :	
Kesit No :	Kayacın Adı
1. Pirojen / Juvenil bileşenler	
1.1. Volkan Camı	
1.2. Pomza	
1.2.1. En büyük tane boyu	
1.2.2. Ortalama (olağan) tane boyu	
1.2.3. Tane şekli	
1.2.4. Yuvarlaklık derecesi	
2. Pirojen / Juvenil Kristaller	
2.1.1. Türü	
2.1.2. Yüzdesi	
2.1.3. Şekli	
2.1.4. Boyutları	
Kayaçta bulunan mineral yüzdeleri , QAPF (Streckeisen, 1979) diyagramına aktarıl렇ında tüf olusutan volkanik faaliyetteki magma bilesimi bulunabilir.	
3. Kayac kırtıtları / Litik bileşenler	
3.1. Aynı kökten volkanoklastlar	
3.1.1. Max. – min. boyutları	
3.1.2. Mineral bilesimi	
3.1.3. Dokusu	
3.1.4. Adı	
3.2. Epiklast	
3.2.1. Max. – min. boyutları	
3.2.2. Mineral bilesimi	
3.2.3. Dokusu	
3.2.4. Adı	

Bu çalışmada, Kırkağaç (Manisa) ilçesine bağlı İlyaslar köyü civarındaki piroklastik kayaçların ayrıntılı petrografik incelemesi yapılmıştır. Bu amaçla betimleme kriterleri hazırlanmış ve bu kriterler polarizan mikroskopta hassasiyetle tanımlanmıştır (Çizelge 1). Mikroskopik çalışmalar sonucunda; arazi verileri de göz önüne alınarak, inceleme alanında bulunan tüflerin detay adlaması yapılmış ve kökenleri araştırılmıştır.

BÖLGESEL JEOLOJİ

Çalışma alanı, Manisa İl'inin Kırkağaç İlçesinin İlyaslar Köyü ve Süleymanlı Köyü civarında yaklaşık 100 km²lik bir alanı kapsar (Şekil 1). Bölgede jeolojik çalışmalar ile birlikte, özellikle Akhisar-Gördes İlçeleri arasında bulunan kömür yataklarında ayrıntılı petrografik incelemeler yapılmıştır (Nebert, 1961; Gökmen, 1967; Konak ve diğ., 1980; Yağmurlu, 1984; Göktaş, 1996; Göktaş and Ünay, 2000).

İnceleme alanında, İzmir-Ankara Zonuna ait Kretase yaşı ofiyolitik kayaçların ve fliş topluluğunun üzerinde Neojen yaşı birimler bulunur. Bunlar, karasal ortama ait alüvyal ve gölsel sedimanter kayaçlar ile volkanik ve/veya volkanoklastik kayaçları içerir (Şekil 2; 3).

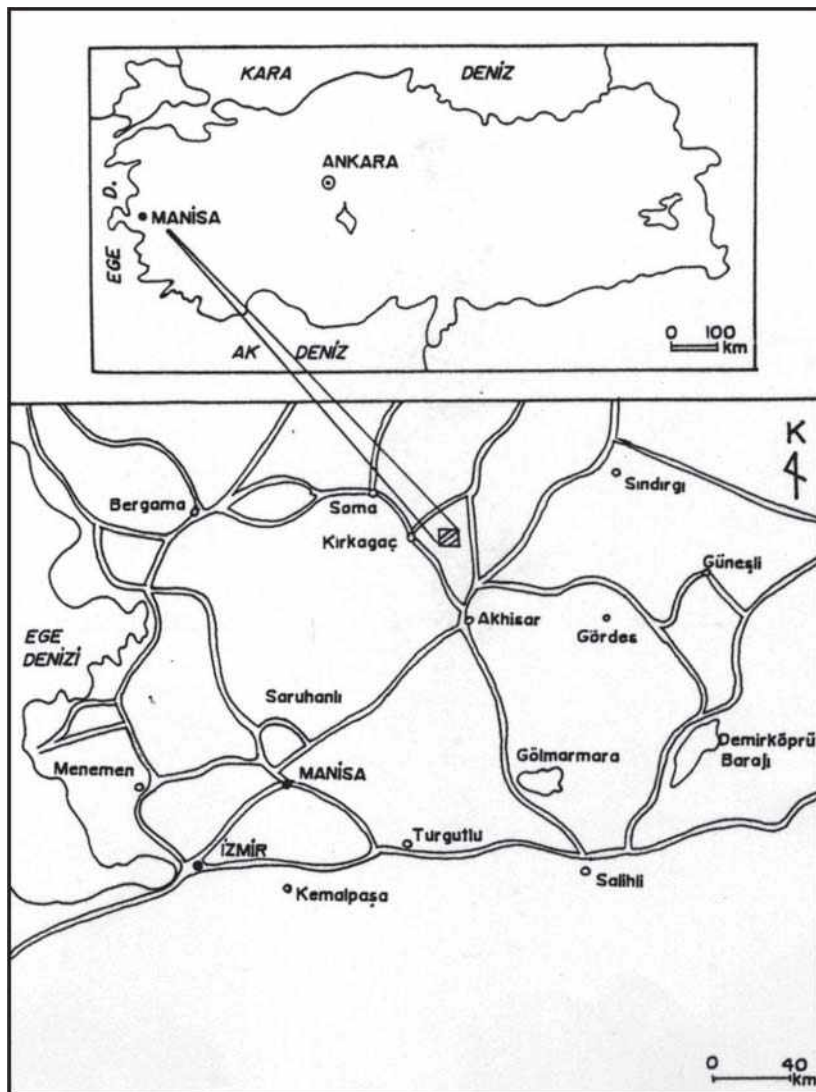
Neojen tortullaşması, Geç Erken Miyosen yaşı gölsel Harta Formasyonu ile başlar. Alt seviyelerdeki kireçtaşları orta-kalın katmanlı olup tatlı su gastropodaları içerir. Üst düzeylere doğru ince-orta katmanlı karbonatlı silttaşılıktaşa geçiş gösterir. 10cm-13m arasında değişen tuf aradüzyeleri içerdigi gibi bitumlu şeyl ve linyit düzeyleri de bulunur (Göktaş, 1996).

Yatağan Tüfü, uyumsuzlukla Harta Formasyonu üzerinde bulunur. Alt düzeylerde, Harta Formasyonundan türemiş silttaşılı ve kireçtaşlı kopuntuları vardır. Yatağan Tüfü, gri-beyaz renkli ve masif görünümlü asidik bileşimli tüfler temsil edilir. Bazen irili-ufaklı pomza

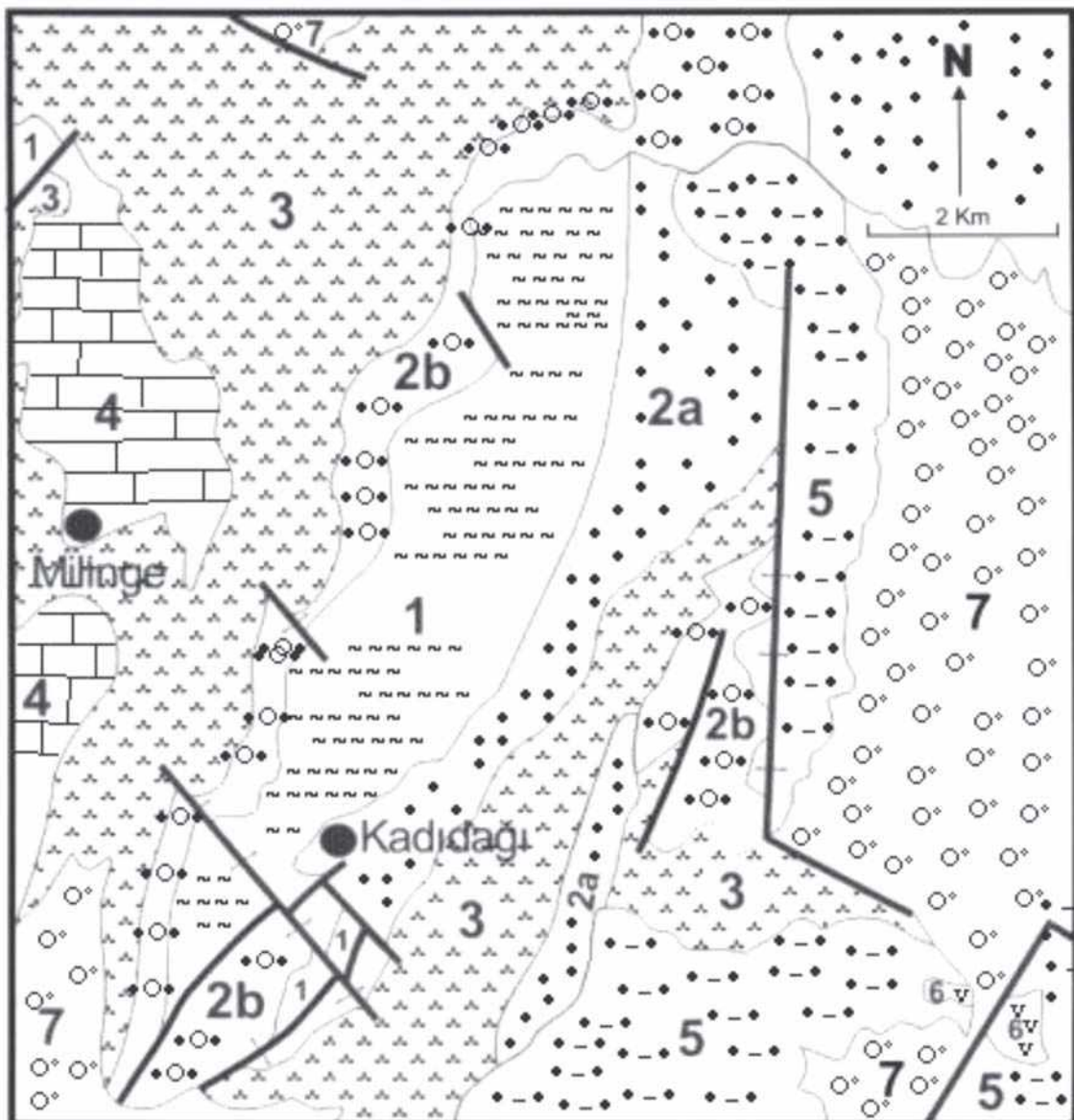
parçaları içerir. Dasitik bileşimli volkanik kayaçlara da rastlanılmıştır. Bu birimin 17.3 0.4 Ma (Geç erken Miyosen) yaşı olduğu tespit edilmiştir (Ercan ve diğ. 1996).

Yatağan Tüfü üzerinde uyumlu olarak bulunan Selvili Kireçtaşı, beyaz renkli ve düzgün orta katmanlı kireçtaş ile simgelenir. Yer yer çört laminaları ve kömürlü düzeyler içerir. Tüf aradüzeylerine de rastlanır.

Selvili Kireçtaşının üzerinde Zeytinlioova Formasyonunun Orta Miyosen yaşı alüviyal çökelleri ile Geç Orta Miyosen yaşı alüviyal ve fluviyal çökelleri uyumsuzlukla bulunur (Göktaş and Unay, 2000). Altta iri bloklardan başlayarak üstte doğru çakıltaşçı ve masif çamurtaşçı düzeylerine geçiş gösterir. Zeytinlioova Formasyonunu kesen Akhisar Fonolitinden 16.9 0.3 Ma yaşı alınmıştır (Ercan ve diğ. 1996).

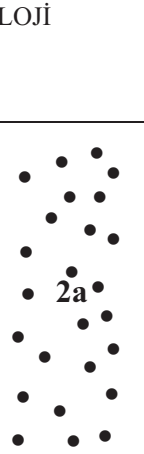


Şekil 1: İnceleme alanının yer bulduru haritası
Figure 1. The location map of the investigated area.



Şekil 2. Kadıdağı (İlyaslar Köyü) çevresinin jeoloji haritası (Göktaş, 1996'dan alınmıştır). 1) Neogen öncesi temel kayaları, 2a) Zeytinliova Formasyonu (Geç Orta Miyosen yaşlı alüviyal ve fluviyal çökeller), 2b) Harta Formasyonu (Geç Erken Miyosen yaşlı gölgesel çökeller), 3) Yatağan Tübü (Geç Erken Miyosen), 4) Selvili Kireçtaşısı (Geç Erken Miyosen), 5) Alüviyal çökeller (Orta Miyosen), 6) Akhisar Fonoliti (Orta Miyosen), 7) Alüvyon.

Figure 2. The geological map of Kadıdağı (İlyaslar Village) surroundings (after Göktaş, 1996). 1) The basement rocks before Neogene, 2a) Zeytinliova Formation (Middle-Late Miocene aged alluvial and fluvial deposits), 2b) Harta Formation (Early-Late Miocene aged lacustrine deposits), 3) Yatağan Tuff (Early-Late Miocene), 4) Selvili Limestone (Early-Late Miocene), 5) Alluvial deposits (Middle Miocene), 6) Akhisar Phonolite (Middle Miocene), 7) Alluvium

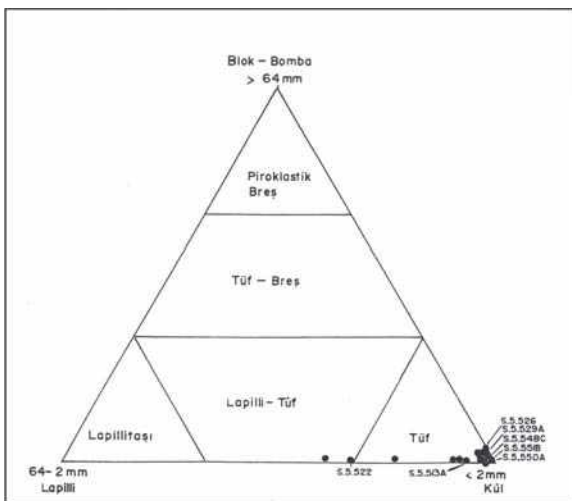
GEÇ ERKEN MİYOSEN					AÇIKLAMALAR	
Harta	Yatağan Tüfü	Selvili	Kireçtaşısı	Geç Ortaya MİYOSEN	GEÇ ORTA MİYOSEN	SERİ
175	200	3	4	325		<p>Genelde yeşilimsi/ mavimsi/ sarımsı gri renkli kumtaşı ve konglomera içerir. Yer yer kireçtaşları ara katmanlıdır. Bazen tuf aradüzeylidir.</p>
		2b				<p>Kül döküntüsü tuf aradüzeylerini içeren beyaz renkli ve orta katmanlı görsel kireçtaşısı</p> <p>Beyaz-gri renkli asidik tuf</p> <p>Kül döküntüsü tuf ve linyit ara düzeyleri içeren kalın-orta katmanlı görsel kireçtaşısı, karbonatlı silttaşısı-kiltaşı</p>

Sekil 3. İnceleme alanının genelleştirilmiş stratigrafisi (Göktas and Ünay, 2000).

Figure 3. The generalized stratigraphical column section of the investigated area (Göktas and Ünay, 2000).

PETROGRAFI

Araziden derlenen 25 adet tuf örneğinin ince kesitleri yapılarak polarizan mikroskopta incelenmiştir. Başlangıçta, tüfleri oluşturan piroklastik kırıntılar; volkanik faaliyet ile türeyen juvenil bileşenler, magma ürünü pirojenik kristaller ve kayaç kırıntıları şeklinde üç ana başlık altında değerlendirilmiştir. Mikroskobik çalışmalar esnasında, Çizelge 1'de verilen betimleme kriterleri aşama aşama takip edilmiş ve tüm piroklastik örnekler üzerine uygulanmıştır. Tüfü oluşturan üç uç bileşenlerin tane büyülüklülerini vermek için Folk (1966)'ın tane boyu ölçümünde kullanılan değerlerinden faydalanyılmış ve piroklastların tane boyutlarına göre volkanoklastik kayaç adlaması yapılmıştır (Şekil 4).

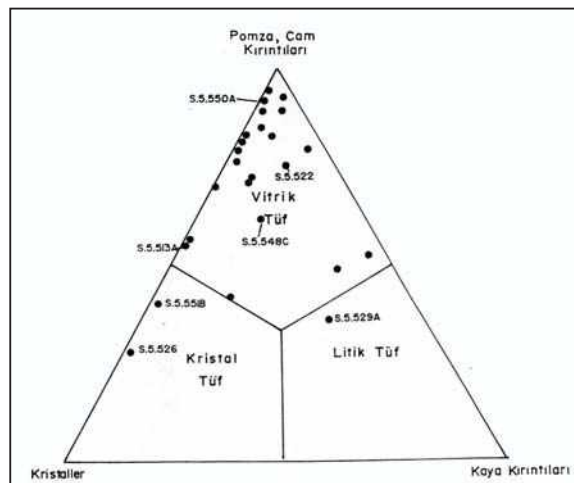


Şekil 4. İncelenen tür örneklerinin Fisher ve Scmincke (1984) diyagramındaki dağılımı.

Figure 4. The plots of the studied tuff samples in Fisher and Scmincke (1984)'s diagram.

Üç uç bileşenlerin % miktarlarına bağlı olarak tüfürün türünü saptamak için Pettijohn (1957)'in üçgen diyagramı kullanılmıştır (Şekil 5). İncelenen örnekler, çoğunlukla vitrik (kül) tuf olup piroklastik kirintıların tane boyu değerleri 1/16'in altına düştüğünde vitrik (toz) tuf adlaması yapılmıştır (Şekil 6,7,8). Kayaçların

isimlendirilmesinde önemli rol oynayan ana mineraller, magmanın bileşimini karakterize eder ve petrografik olarak sınıflandırılmasında esas teşkil eder. Bu nedenle, tuf örneklerinin pirojen mineral içeriğine bağlı olarak magmanın bileşimi (dasitik vitrik-lapilli tuf gibi) bulunmaya çalışılmıştır (Şekil 9). Özellikle vitrik (toz) türflerde, felsik minerallerin çokluğu gözlenir ama tane boyu çok küçük olduğu için feldspatların türü saptanamaz. Ancak, volkanizmanın asidik karakterli olduğu söylenebilir.



Şekil 5. İncelenen tür örneklerinin Pettijohn (1957) diyagramındaki dağılım.

Figure 5. The plots of the investigated tuff samples in Pettijohn (1957)'s diagram.

Çizelge 2'deki incelenen piroklastik kayaçlardan seçilen 7 örnekte gözlendiği gibi tüfün genellikle ana bileşenini volkan camı oluşturmaktadır. Volkan camı, matriksi oluşturan volkan tozu şeklinde olup az miktarda cam kıırıntıları şeklinde de gözlenebilmektedir. Volkan camı, kısmen veya tamamen kil minerallerine dönüşmüştür. Bazende ikincil karbonat mineralleri tarafından ornatılmıştır. İncelenen tür örnekleri yer yer %35'e varan pomza kıırıntıları içermektedir. Pomza kıırıntılarının ortalama tane boyu, 0,310 mm olup en büyük tane boyu ise 3 mm dir. Pomza kıırıntıları bazen kil minerallerine altere olmuştur. Bununla beraber birkaç örneğin pomza olarak adlandırılabilir kadar

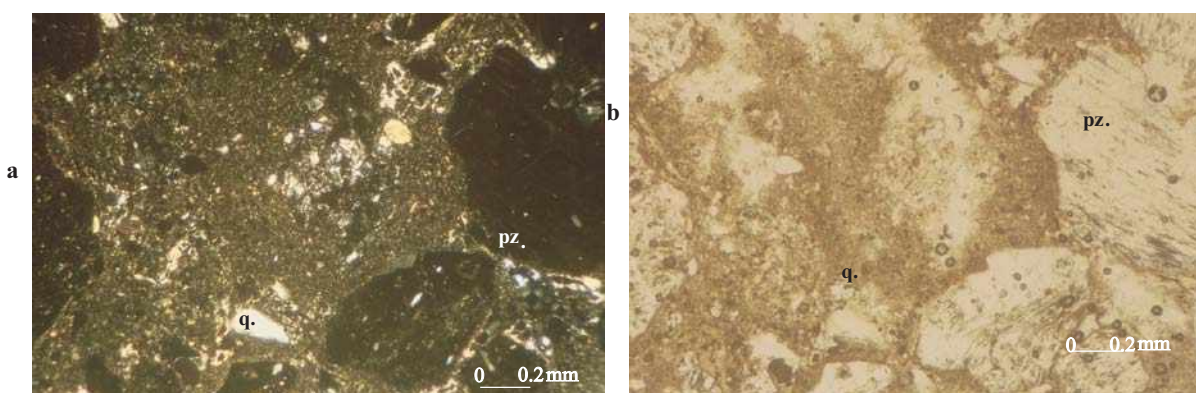
süngerimsi doku sunan volkan camından ibaret olduğu gözlenmiştir. Yer yer daha sonraki aşamada gelen karbonatlı eriyikler süngerimsi doku sunan pomzayı ornatmıştır (Şekil 10). Çok ender olarak perlit kırıntıları da vardır.

Tüf örneklerinde, pirojen / juvenil kristaller olarak felsik mineraller ve mafik mineraller bulunmaktadır. Felsik minerallerden kuvars, plajiyoklas (oligoklas, andezin) ve çok az miktarda sanidin kristalleri gözlenmiştir. Mafik mineraller olarak biyotitler, amfibollere nazaran daha fazladır. Kayaçta bulunan mineral yüzdeleri QAPF (Streckeisen, 1979) diyagramına aktarıldığından tüfün oluşturan volkanizmanın dasitik bileşimli olduğu ve bazen andezitik karakter sunduğu anlaşılmıştır. Bununla beraber, inceleme alanının güneydoğusunda, Gördes (Manisa) civarında, pirojen kristaller olarak kuvars ve alkali feldspat (sanidin) kristalleri içeren riyolitik vitrik (kül) tüflerin olduğu ve

zeolit açısından işletilebilir yatakların varlığı önceki çalışmalarda belirtilmiştir (Sarifakioğlu ve Türkbileği, 1990).

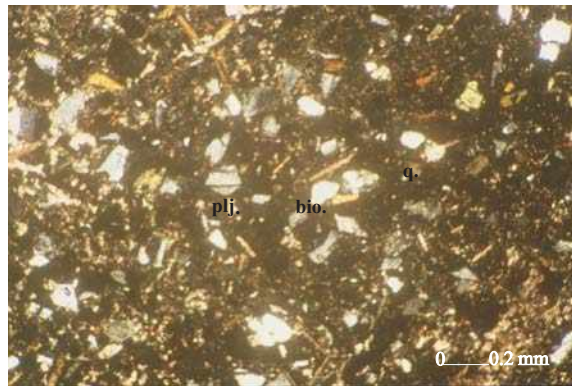
İncelenen piroklastik kayaçlarda, bazen gözlenen kayaç kırıntıları genellikle aynı kökten volkanoklastlar şeklinde olup bunlar hyaloporfirik, hyalomikrolitik porfirik veya mikrogranül doku sunan felsik minerallerden oluşmuş volkanoklastlardır. Yok denecek kadar az olan epiklastlar ise lepidoblastik dokulu şist yada granoblastik dokulu gnays kırıntılarıdır.

Mikroskopik çalışması yapılan bazı tüf örneklerinde, alttan üste doğru ortaç-kaba taneden ince taneye doğru normal bir derecelenme sunduğu izlenmiştir (Şekil 11). Altta pirojen kristallerin ve kayaç kırıntılarının varlığı, üste doğru ise volkanik camın (matriks şeklinde) arttığı gözlenmiştir (Şekil 12).



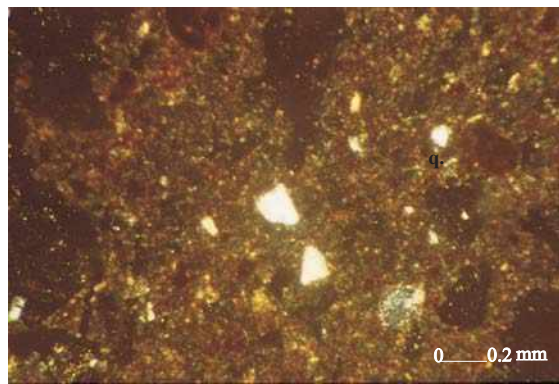
Şekil 6: Dasidik vitrik (kül) tüf içerisindeki pomza kırıntılarının mikroskopik görüntüsü (a: çift nikol; b: tek nikol; pz:pomza kırıntıları; q: kuvars).

Figure 6. Microscopic views of pumice fragments in Dasitic vitric (ash) tuff (a: cross nicol; b: paralel nicol; pz:pumice fragments; q: quartz).



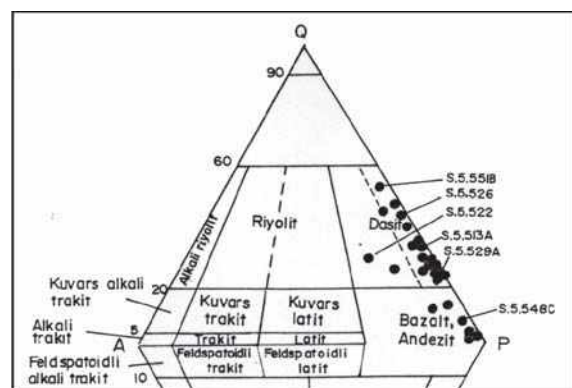
Şekil 7: Dasitik vitrik (kül) tüfün mikroskopik görüntüsü (q: kuvars; plj: plajiyoklas; bio: biyotit).

Figure 7. Microscopic views of Dasitic vitric (ash) tuff (q: quartz; plj: plagioclase; bio: biotite).



Şekil 8: Asidik vitrik (toz) tüfün mikroskopik görüntüsü (q: kuvars).

Figure 8. Microscopic views of Asitic vitric (dust) tuff (q: quartz).



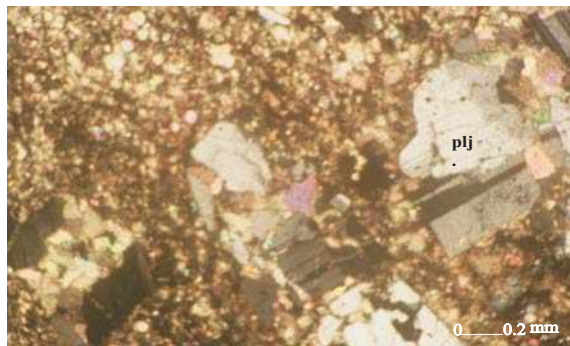
Şekil 9. Streckeisen (1979) diyagramını kullanarak incelenen tüf örneklerinin mineral içeriğine göre bileşimi.

Figure 9. Mineralogical composition of the studied tuffs in Streckeisen (1979)'s diagram.

Çizelge 2. İncelenen piroklastik kayaçların üç uç bileşenlerinin içerikleri ve petrografik tanımlaması.

Table 2. The contents of the three edges components and petrographical description of the studied tuffs.

Yer, Pafta, Kesim No	Kayaç Adı	Pirojenik / Juvenil Bileşenler		Pirojenik / Juvenil Kırışıklar / Litik Bileşenler		Kayaç Kirintılıları / Litik Bileşenler	Epklast
		Pirojenik	Juvenil	Kristaller	Tane Boyu (mm)		
Habipler KD'su		%0.8 Q		0.88-0.496			
J19-c35 S.5.513A	Dasitik Vitrik (Kül) Tüf	%2.0 volkan cam %3.4 pomza	0.059-0.19 Plj. 0.016 Bio.	0.038-0.128 0.056-0.840	İki tane hyaloporfirik dokulu astidik kökenli volkanoklast		
Selvili Köyü			0.02 Q	0.05-1.280			
J19-c44 S.5.529A	Dasitik Vitrik (Kül) Tüf	%8.0 volkan cam 0.10 Plj.	0.024-0.200				
Selvili Köyü		0.02 Bio.	0.024-0.000				
J19-c4 S.5.529A	Dasitik Litik (Kül) Tüf	%3.8 volkan cam 0.02 Bio.	0.032-0.296 0.240-0.736	0.240-0.736	%40 hyaloporfirik dokulu astidik kökenli volkanoklast (0.240-1.160 mm)	%2 lepidoblastik dokulu sist parçası (0.440-0.564 mm)	
Kadıtagı K'ı		0.02 Amf.					
J19-c4 S.5.529A	Asidik Vitrik (Toz) Tüf	%8.5 volkan cam 0.59 pomza	0.024-0.264	0.024-0.264	0.02		
Gökçeahmetli K'ı							
J19-c44 S.5.522A	Dasitik Vitrik - Lapilli Tüf	%70 volkan cam 0.67 pomza	0.05-0.5 felsik mineraler, 0.53 mika	0.064-1.008	%10 hyaloporfirik dokulu astidik kökenli volkanoklast (0.184-0.760 mm)	%4 lepidoblastik sist ve tanelli dokulu peridotit parçası (0.60mm-1cm)	
Gökçeahmetli K'ı							
J19-c4 S.5.548C	Nütr (Andezitik) Vitrik (Kül) Tüf	%60 volkan cam 0.66 Bio.	0.032-0.736 0.048-0.656	0.032-0.736 0.048-0.656	%5 hyaloporfirik dokulu volkanoklast	%10 mikrospar dokulu kireçtaşı kirintili	
Musalılar G'i							
J19-c4 S.5.526	Dastık Kristal (Kaba Kül) Tüf	%28 volkan cam 0.64 Bio.	0.080-1.280 0.065-1.444	0.080-1.280 0.065-1.444			
Gökçeahmetli K'ı							
J19-c4 S.5.513B	Dasitik Kristal (Kül) Tüf	%39 volkan cam 0.61 pomza	0.072-0.680 0.065-1.50	0.072-0.680 0.065-1.50	%2 hyalomikrotik porfirik dokulu astidik kökenli volkanoklast	%1 lepidoblastik dokulu sist parçası	



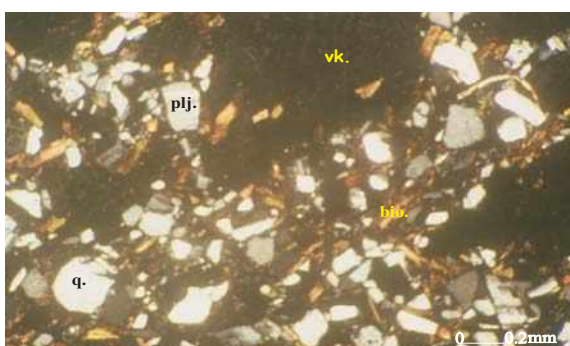
Şekil 10: İkincil kalsit mineralleri tarafından gaz boşlukları işgal edilmiş pomza örneğinin mikroskopik görüntüsü (plj: plajiyoklas).

Figure 10. Microscopic views of pumice samples of which gas pores are occupied by secondary calcite minerals.



Şekil 11. Dasitik vitrik (kül) tuf ile vitrik (toz) tüfün ardalanmasının mikroskopik görüntüsü (q: kuvars; plj: plajiyoklas; bio: biyotit).

Figure 11. Microscopic views of alternating Dasitic vitric (ash) tuff with Dasitic vitric (dust)tuff.



Şekil 12: Dasitik litik (kül) tüfün mikroskopik görüntüsü (q: kuvars; plj: plajiyoklas; bio: biyotit; vk: volkanoklast).

Figure 12. Microscopic views of Dasitic lithic (ash) tuff (q: quartz; plj: plagioclase; bio: biotite; vk: volcanoclast).

SONUÇLAR

- İlyaslar Köyü (Kırkağaç Manisa) dolayında Neojen (Alt Miyosen)'in kıritılı ve karbonatlı kayaç birimleri ile arakatmanlı tuf düzeyleri mevcuttur.
- Piroklastik kayaçların üzerinde ayrıntılı petrografik çalışmalar yapabilmek için betimleme kriterleri hazırlanmış ve bunlar polarizan mikroskopta incelenmiştir.
- Bu çalışmalar neticesinde; piroklastik kayaçların çoğunlukla dasitik vitrik (kül) tuf olduğu tespit edilmiştir. Asidik vitrik (toz) tuf, dasitik kristal (kaba kül) tuf, dasitik litik (kül) tuf ve dasitik vitrik lapilli tuf de saptanmıştır.
- İncelenen tuf örneklerinin kuvarsofelsik mineral içeriğine bağlı olarak tüyü oluşturan volkanizmanın asidik (dasitik) bileşimli olduğu anlaşılmıştır. Bununla beraber, az miktarda ortaç bileşimli (andezit) volkanizma ürünü olan tüfler de tespit edilmiştir.
- Yapılan petrografik çalışmalarında, piroklastik malzemenin görsel ortamda birikmesi esnasında, zaman zaman epiklastik malzeme ile karıştığı ve tabandan üstte doğru iyi bir boylanma sunduğu anlaşılmıştır. Alt seviyelerdeki ortaç-kaba taneli vitrik (kül) tuf, kristal (kül) tuf, litik (kül) tuf ve vitrik lapilli tuf gibi kristal ve/veya kayaç kıritlıklarından oluşan tüflerin üstte doğru ince taneli volkan tozundan oluşan vitrik (toz) tüflere geçiş yaptığı izlenmiştir.
- İncelenen piroklastik kayaçlar, bazen %35'e varan pomza kıritıları içermektedir. Bazı örnekler, pomza olarak adlandırılabilen özelliktedir. Pomza, endüstride en çok hafif beton üretiminde kum yerine kullanılmaktadır. Bu nedenle petrografik incelemesi yapılan örneklerin teknolojik özellikleri araştırıldıktan sonra inşaat sektöründe dere kum-çakıl malzemesine alternatif olarak yapı malzemesi (siva) yapımında kullanılabilir (Sarıkakioğlu, 1995).

KATKİ BELİRTME

Mikroskopik çalışmalarım esnasında izlenecek adımlar konusunda kritiklerinden yararlandığım, ilaveten arazi gözlemleri ile de katkılarda bulunan Jeo. Yük. Müh. Fikret GÖKTAŞ'a şükranlarımı sunarım. Bu makaleyi okuyarak değerli görüşlerini bildiren Prof. Dr. Abidin TEMEL ve Dr. Eşref ATABEY'e teşekkür ederim.

DEĞİNİLEN BELGELER

- Ercan, T., Satır, M., Sevin, D. ve Türkcan, A. 1996. Batı Anadolu'daki Tersiyer ve Kuvaterner yaşılı volkanik kayaçlarda yeni yapılan radyometrik yaş ölçümlerinin yorumu, *MTA Derg.*, 119, 103-112.
- Erkan, Y. 1994. Magmatik Petrografi. Hacettepe Üniv. Müh. Fak. Jeoloji Müh. Böl. Ders notları, 149 s. Ankara
- Folk, R.L. 1966. A review of grain-size parameters. *Sedimentology*, 6, 73-93.
- Fisher, R.V. 1961. Proposed classification of volcaniclastic sediments and rocks. *Geol. Soc. Amer. Bull.* 72, 1409-1414.
- Fisher, R.V. and Scmincke, H.U. 1984. Pyroclastic Rocks: *Springer-Verlag*, New York, 409p.
- Gökmen, V. 1967. Çitak (Akhisar-Manisa) civarındaki linyit ihtiva eden Neojen sahasına ait jeolojik rapor. MTA Rapor no: 4020 (yayınlanmamış).
- Göktaş, F. 1996. Gördes Neojen Havzasının Jeolojisi. MTA rapor no: 9931 (yayınlanmamış).
- Göktaş, F. And Ünay, E. 2000. The stratigraphy of the NW parts of the Akhisar (Manisa) Neogene basin, *IESCA*, Inter. Earth Scien. Congress on Aegean Region, Abstracts, 72.
- Jeoloji Mühendisleri Odası, 2004. Kapadokya'nın Tarihi, Jeolojik Özellikleri ve İnsan Sağlığı Üzerine Etkileri (Karain-Sarıhıdır-Tuzköyü Örneği) Teknik Gezi Kitabı. *Teknik Geziler Serisi -2*. 35 s. Ankara
- Konak, N., Akdeniz, N. ve Armağan, F. 1980. Akhisar, Gölstmara, Gördes, Sındırı (Manisa) dolayının jeolojisi. MTA Rapor no. 6916 (yayınlanmamış).
- McPhie, J., Doyle, M. and Allen, R. 1993. Volconic Rocks. University of Tasmania. 191 p.
- Nebert, K. 1961. Linyit ihtiva eden Çitak Neojen Sahasının (Akhisar-Manisa) Jeolojik yapısı ve maden jeolojisi durumu hakkında rapor. MTA Rapor no. 2928 (yayınlanmamış).
- Pettijohn, F.J. 1957. Sedimentary Rocks, 2nd ed., New York,, Harper and Row, 718 p.
- Sarıkıoğlu, E. ve Türkbleği, H. 1990. Molla Hüseyin Damı-Fındıcak Köyü (Manisa-Gördes) civarındaki zeolitik tüflerin etüdü ve kullanılabilirliğinin araştırılması. 4. Uluslararası Seramik Teknik Kongre ve Sergisi. *TMMOB, Kimya Müh. Odası. Bildiriler Kitabı*. 337-351.
- Sarıkıoğlu, E. 1995. Cumaovası (İzmir) asidik volkanizma ürünlerinin petrografisi ve endüstriyel hammadde açısından değerlendirilmesi. *Endüstriyel Hammadde Sempozyumu* (ed. H. Köse, M.S. Kızıl). 207-213.
- Speranskaya, I.M. 1966. Ignimbrites in the Volcanic Sequence of the Northern Coast of the Sea of Okhotsk and Their Origin. In: *Tuflavas and Ignimbrites: a survey of Soviet studies* (ed. by Earl F. Cook). American Elsevier Publishing Company, Inc. New York.
- Streckeisen, A. 1979. Classification and nomenclature of volcanic rocks, lamprophyres, carbonatites and melilitic rocks: recommendations and suggestions of the IUGS Subcommission on the systematics of igneous rocks, *Geology*, 7, 331-335.
- Yağmurlu, F. 1984. Akhisar doğusunda kömür içeren Miyosen tortullarının stratigrafisi, depolanma ortamları ve tektonik özellikler. *Türkiye Jeoloji Kurumu Bülteni* 5, 3-20